

УДК 537.531 : 539.184

**БЛИЖНЯЯ ТОНКАЯ СТРУКТУРА
K-СПЕКТРОВ ПОГЛОЩЕНИЯ
ПЛОСКИХ АЗОТСОДЕРЖАЩИХ ОКСИАНИОНОВ
В КРИСТАЛЛАХ**

C. B. Некипелов, B. N. Акимов, A. C. Виноградов

Методом квантового выхода внешнего рентгеновского фотоэффекта исследована ближняя тонкая структура рентгеновских спектров поглощения анионов NO_2^- и NO_3^- в кристаллах KNO_2 , NaNO_2 , KNO_3 и NaNO_3 . Проведено сравнение со спектрами поглощения молекулы NO , на основании чего основные особенности спектров интерпретируются как π - и σ -резонансы. Обнаружена линейная зависимость между величиной энергетического расщепления $\pi - \sigma$ -резонансов и длиной связи $\text{N}-\text{O}$ в NO , NO_2^- и NO_3^- .

Известно, что в ближней тонкой структуре (БТС) рентгеновских спектров поглощения (РСП) линейных и плоских молекул, состоящих из атомов II периода, доминируют резонансы π - и σ -формы, связанные с захватом в процессе фотопоглощения K -электронов на молекулярные орбитали, построенные в основном из атомных $2p$ -орбиталей [1-7]. Основная причина наличия двух типов резонансов — резкая анизотропия молекулярного потенциала, приводящая к сильному энергетическому расщеплению молекулярных состояний, ориентированных вдоль линии связи (σ_{2p}) и перпендикулярных к ней (π_{2p}). Величина энергетического расщепления $\pi - \sigma$ -резонансов, характеризующая степень анизотропии молекулярного поля, в значительной степени определяется величиной межатомного расстояния [1, 4] и, следовательно, может быть использована для экспериментального нахождения последнего. Можно ожидать, что подобные закономерности будут иметь место и в случае кристаллов с островной структурой, для которых известно, что поглощение в анионах имеет квазимолекулярный характер [8].

БТС NK - и OK -спектров поглощения плоских анионов NO_2^- NO_3^- в кристаллах KNO_2 , NaNO_2 , KNO_3 и NaNO_3 была исследована методом квантового выхода внешнего рентгеновского фотоэффекта [9] с энергетическим разрешением 0.4 и 0.7 эВ соответственно в районе NK - и OK -краев поглощения с помощью рентгеновского спектрометра-монохроматора РСМ-500 и тормозного излучения рентгеновской трубки с вольфрамовым анодом.

Таблица 1

Энергетическое положение (в эВ) элементов тонкой структуры
 K -спектров квантового выхода и K -порогов ионизации [10] KNO_2 и NaNO_2

		A	B	C	C'	K-порог ионизации
KNO_2	OK-край	532.0	540.3	543.3	—	403.9
	NK-край	401.6	409.0	411.7	—	
NaNO_2	OK-край	531.4	539.3	541.8	545.5	532.0
	NK-край	401.5	409.6	411.6	—	

NK- и *OK*-спектры поглощения анионов NO_2^- и NO_3^- подобны по числу и взаимному энергетическому положению основных деталей тонкой структуре (рис. 1, 2; табл. 1, 2) и имеют слабую зависимость от внесферного катиона (калий, натрий). Существенно, что доминирующие в *NK*- и *OK*-спектрах обоих анионов дискретная полоса *A* и расположенная в континууме широкая полоса *C* имеют очевидные аналоги в *K*-спектрах поглощения

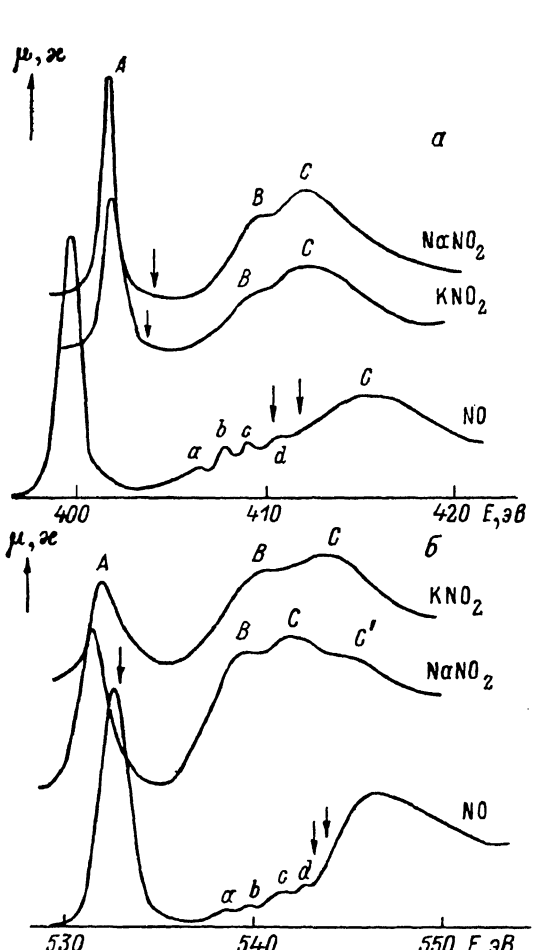


Рис. 1. Спектры *NK* (a) *OK* (б) квантового выхода аниона NO_3^- и спектры поглощения молекулы NO [10].
Вертикальными стрелками отмечены пороги ионизации для аниона NO_3^- [18] и молекулы NO [17].

Вертикальными стрелками отмечены пороги ионизации для аниона NO_3^- [18] и молекулы NO [17].

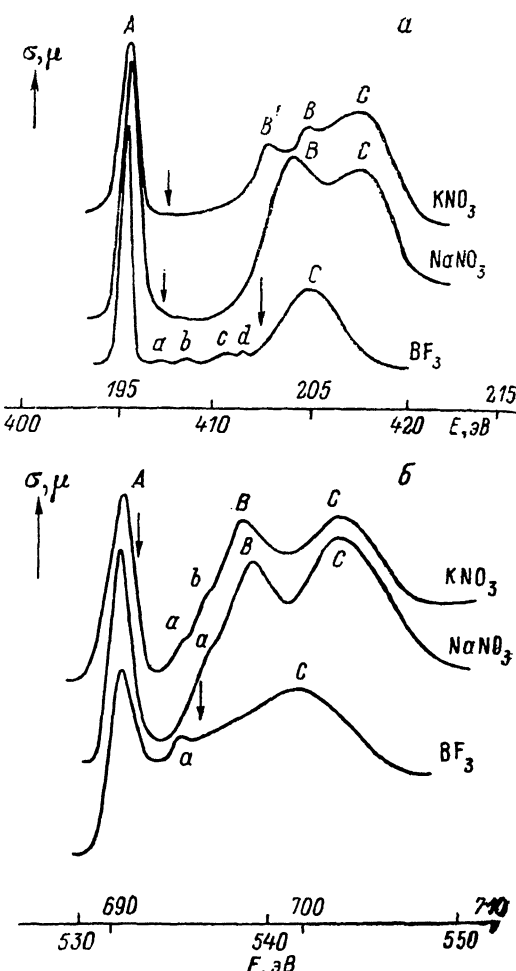


Рис. 2. Спектры квантового выхода аниона NO_3^- (a — *NK*, б — *OK*) и поглощения молекулы BF_3 (a — *BK* [?], б — *FK* [?]).
Вертикальными стрелками отмечены пороги ионизации для аниона NO_3^- [16, 18] и молекулы BF_3 [17].

Верхние энергетические шкалы для спектров BF_3 , нижние — для спектров NO_3^- . Молекулярные спектры совмещены с соответствующими спектрами анионов по положению первого резонанса. Вертикальными стрелками отмечены пороги ионизации для аниона NO_3^- [16, 18] и молекулы BF_3 [17].

щечия молекулы NO [10] (рис. 1). Это позволяет связать происхождение полос поглощения *A* и *C* в спектрах NO_2^- и NO_3^- с наличием в этих анионах фрагментов $\text{N}-\text{O}$ и воспользоваться для идентификации этих полос поглощения результатами интерпретации соответствующих деталей структуры спектров поглощения молекулы NO [10].

Как отмечалось выше, доминирующими деталями *K*-спектров поглощения молекулы NO и других линейных и плоских молекулярных соединений атомов II периода являются π - и σ -резонансы, связанные с переходами *K*-электронов на молекулярные орбитали, построенные в основном из атомных $2p$ -орбиталей. Основываясь на известной интерпретации

Таблица 2

Энергетическое положение (в эВ) элементов тонкой структуры
 K -спектров квантового выхода и K -порогов ионизации [1⁶, 1⁷] KNO_3 и NaNO_3

		A	a	b	B'	B	C	K -порог ионизации
KNO_3	OK-край	532.0	535.3	536.5	--	538.3	543.2	533.0
	NK-край	405.5	—	—	412.6	414.7	416.6	407.6
NaNO_3	OK-край	532.2	—	537.2	—	539.0	543.8	—
	NK-край	405.6	—	—	—	413.9	417.6	407.4

K -спектров молекулы NO [10] и принимая во внимание соображения симметрии [11] для анионов NO_2^- (группа симметрии C_{2v}) и NO_3^- (группа симметрии D_{3h}), пик A можно идентифицировать как πb_1 и $\pi a''_2$, а полосу C — как σa_1 - и $\sigma e'$ -резонансы для анионов NO_2^- и NO_3^- соответственно. Следует отметить, что такая идентификация основных деталей спектров, в частности, для аниона NO_3^- хорошо согласуется с интерпретацией основных деталей K -спектров поглощения молекулы BF_3 (изоэлектронной и изоструктурной аниону NO_3^-) [6, 7] (рис. 2), выполненной на основе расчета [8].

Как известно [1, 4], величина энергетического расщепления $\pi-\sigma$ -резонансов в значительной степени определяется величиной межатомного расстояния. В [5] было показано, что в случае K -спектров поглощения молекулы N_2 величина энергетического расщепления $\pi-\sigma$ -резонансов

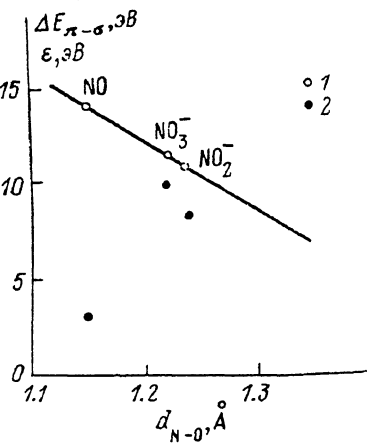


Рис. 3. Зависимость величины энергетического расщепления $\pi-\sigma$ -резонансов $\Delta E_{\pi-\sigma}$ (1) и энергетического положения σ -резонанса относительно порога ионизации ϵ (2) от длины связи $d_{\text{N}-\text{O}}$.

увеличивается по мере уменьшения расстояния между атомами. В данном случае естественно предполагать, что такая закономерность существует и для спектров поглощения анионов NO_2^- и NO_3^- и молекулы NO . Действительно, при рассмотрении ряда NO_2^- , NO_3^- и NO (рис. 3) видно, что величина энергетического расщепления $\pi-\sigma$ -резонансов $\Delta E_{\pi-\sigma}$ растет с уменьшением длины связи $\text{N}-\text{O}$. Более того, имеет место линейная зависимость между величиной энергетического расщепления и длиной связи $\text{N}-\text{O}$ ($\Delta E_{\pi-\sigma} = 10.5, 11.5, 14.0 \text{ эВ}$, а $d_{\text{N}-\text{O}} = 1.24, 1.217$ [12], 1.150 \AA [13] для NO_2^- , NO_3^- и NO соответственно), что может служить основой для определения длины связи по величине $\pi-\sigma$ -расщепления, полученной из K -спектров поглощения.

Следует отметить, что в случае K -спектров поглощения свободных молекул, содержащих однотипные связи, как правило прослеживается достаточно четкая линейная зависимость между длиной связи и энергетическим положением σ -резонанса, отсчитанным от соответствующего K -порога ионизации [4]. В рассматриваемом нами случае спектров поглощения молекулы NO и твердотельных анионов NO_2^- и NO_3^- такой линейной зависимости ϵ от $d_{\text{N}-\text{O}}$ не наблюдается (рис. 3). Связано это в первую очередь, по-видимому, с тем, что для твердотельных соединений корректное определение абсолютных энергетических положений порогов ионизации представляет значительные трудности, и точность даваемых фотоэлектронной спектроскопией данных здесь невысока.

Другим существенным моментом, определяющим несоблюдение линейной зависимости ϵ от $d_{\text{N}-\text{O}}$, является, по всей видимости, то, что анионы

NO_2^- и NO_3^- несут на себе в твердом теле избыточный электронный заряд. Очевидно, что при прочих равных условиях наличие такого заряда должно приводить к энергетической дестабилизации резонансов относительно K -порога ионизации, т. е. к сдвигу их в сторону больших кинетических энергий фотоэлектрона. Такое влияние на энергетическое положение резонансов различий в эффективных зарядах, локализованных на связи, можно наблюдать и у молекулярных спектров поглощения: K -спектров H_2CO , CH_3HCO и $(\text{CH}_3)_2\text{CO}$ [14], не укладывающихся в обсуждаемую в работе [4] зависимость $\epsilon(d_{\text{C}-\text{O}})$.

Сопоставление резонансов формы в рентгеновских спектрах поглощения молекул и спектрах рассеяния на молекулах медленных электронов показывает [2], что величина энергетического расщепления $\pi-\sigma$ -резонансов слабо зависит от эффективного заряда поглощающей системы. Этот факт, а также то, что при рассмотрении зависимости $\Delta E_{\pi-\sigma}$ от длины связи отпадает необходимость в знании точного положения K -порогов ионизации, делает такой подход более общим, чем подход, основанный на анализе зависимости $\epsilon(d)$, и позволяет распространить его и на твердое тело.

При более подробном рассмотрении полученных нами спектров поглощения анионов видно наличие некоторых дополнительных деталей по сравнению со спектрами молекул NO и BF_3 , что, видимо, объясняется наличием кристаллического окружения анионов. В частности, наличие связи внесферный катион—анион может привести к искажению формы аниона, что должно выразиться в изменении длины связи $\text{N}-\text{O}$. Можно предположить, что полоса B в спектрах поглощения анионов является, как и полоса C , σ -резонансом, но соответствует другой длине связи $\text{N}-\text{O}$. Полученная нами выше линейная зависимость $\Delta E_{\pi-\sigma}$ от $d_{\text{N}-\text{O}}$ позволяет предсказать, что эта связь должна иметь длину ~ 1.31 и 1.33 \AA для анионов NO_3^- и NO_2^- соответственно. В литературе, однако, отсутствуют данные о наличии такого сильного искажения формы анионов в исследуемых кристаллах [12].

Можно предположить еще одну возможную причину появления полос B . В [2] было отмечено, что полоса B в спектрах поглощения аниона NO_3^- , по-видимому, связана, как и пик A , с $\pi_{d_2^2}$ -резонансом, но в соседнем анионе без рентгеновской вакансии. Однозначно ответить на вопрос, какой из двух механизмов ответствен за появление полосы B в спектрах анионов NO_2^- и NO_3^- , пока не представляется возможным, так как для этого требуется дополнительные теоретические исследования.

Л и т е р а т у р а

- [1] Акимов В. Н., Виноградов А. С., Павлычев А. А., Синков В. Н. Опт. и спектр., 1985, т. 59, № 2, с. 342—347.
- [2] Виноградов А. С., Акимов В. Н., Зимкина Т. М., Павлычев А. А. Изв. АН ССР. Сер. физ., 1985, т. 49, № 8, с. 1458—1462.
- [3] Swanson J. R., Dill D., Dehmer J. L. J. Chem. Phys., 1981, vol. 75, N 2, p. 619—624.
- [4] Sette F., Stöhr J., Hitchcock A. P. J. Chem. Phys., 1984, vol. 81, N 11, p. 4906—4914.
- [5] Павлычев А. А., Виноградов А. С. Опт. и спектр., 1987, т. 62, № 2, с. 340—344.
- [6] Некипелов С. В., Акимов В. Н., Виноградов А. С. Опт. и спектр., 1988, т. 64, № 4, с. 817—822.
- [7] Ishiguro E., Iwata S., Suzuki Y., Mijuni A., Sasaki T. J. Phys. B. 1982, vol. 15, N 3, p. 1841—1854.
- [8] Духняков А. Ю. Автореф. докт. дис. Л., 1984.
- [9] Руми М. А., Щемелев В. Н., Лукирский А. П. Изв. АН ССР. Сер. физ., 1961, т. 25, № 8, с. 1060—1065.
- [10] Акимов В. Н., Виноградов А. С., Зимкина Т. М. Опт. и спектр., 1982, т. 53, № 1, с. 109—113.
- [11] Недедов В. И. Валентные электронные уровни химических соединений. М.: ВИНИТИ, 1975, т. 3. 176 с.
- [12] Wyckoff R. W. G. Crystal Structures (second edition), Interscience publishers. N. Y.; London, 1967. 588 p.
- [13] Structure Data of Free Polyatomic Molecules, ed. by Landolt and Börnstein, New Series II (Springer, Berlin, 1976).

- [14] Hitchcock A. P., Brion C. E. J. Electron Spectrosc., 1980, vol. 19, N 2, p. 231—237.
- [15] Салынь Я. В., Титова К. В. и др. ЖНХ, 1977, т. 22, № 11, с. 2998—3003.
- [16] Недедов В. И. Применение рентгеноэлектронной спектроскопии в химии. М.: ВИНИТИ, 1973, т. 1. 189 с.
- [17] Bakke A. A., Chen H.-W., Jolly W. L. J. Electron Spectrosc., 1980, vol. 19, N 2, p. 231.

Ленинградский
государственный университет
Ленинград

Поступило в Редакцию
8 июля 1988 г.
